重力崩壊計算の為の 3次元GRMHDコード開発

新学術領域A03班第2回研究会

〇黒田 仰生、梅田 秀之(東大)

Outline

- ※現在までの研究 (3 DMHD)
- **❖GRMHDコードの概要**
- *大質量星の重力崩壊 ニュートニアン近似との比較

*まとめ

重力崩壊型超新星爆発の爆発機構

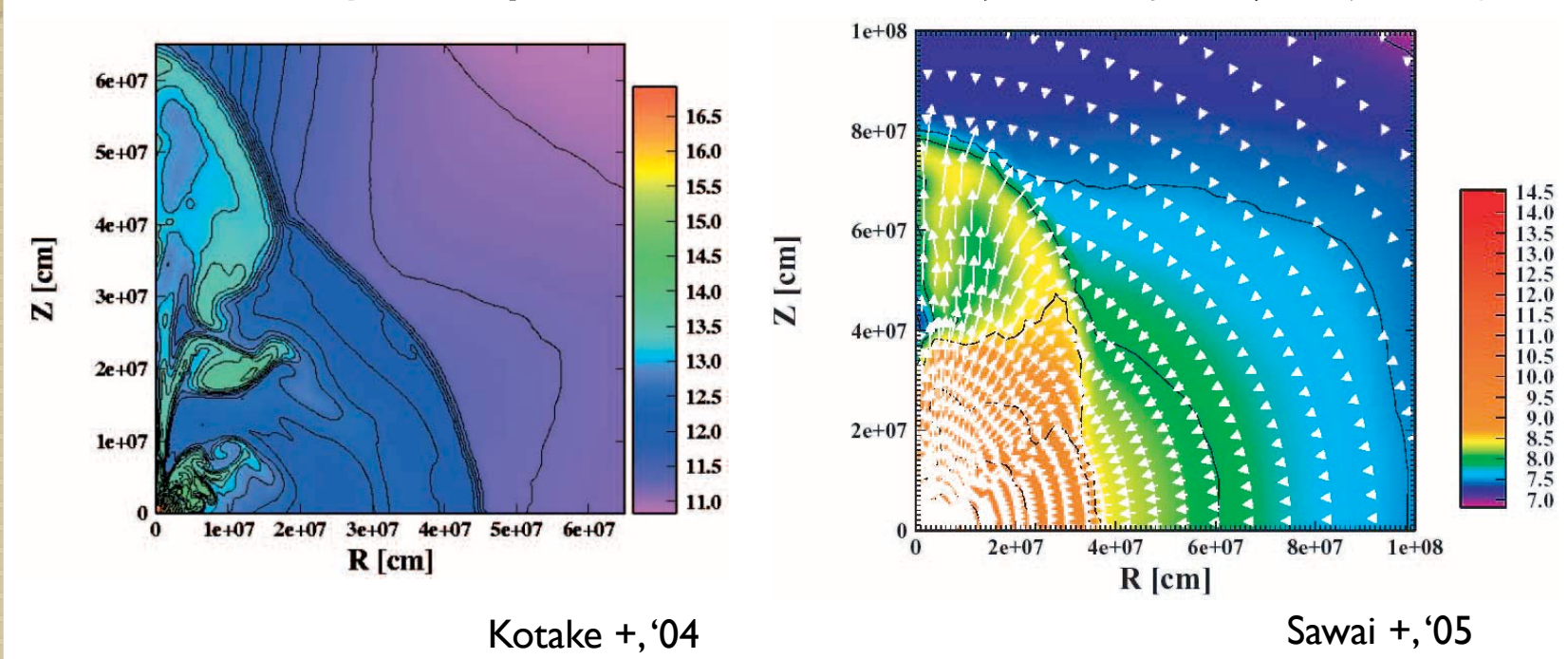
- ✓ニュートリノ駆動型
- √ Acoustic mechanism
- ✓磁気回転型爆発



磁場と回転を伴う親星が起こす爆発。

十分な強磁場(~I0^{I5}G)が生じると、 中心天体の回転エネルギーが抜かれ、 高速のアウトフローが出現。

2次元軸対称での先行研究は多数ある。



では3次元非軸対称ではどのような発展を遂げるか?

軸対称計算と3次元計算の最も大きな違い。

原始中性子星の回転不安定にある。

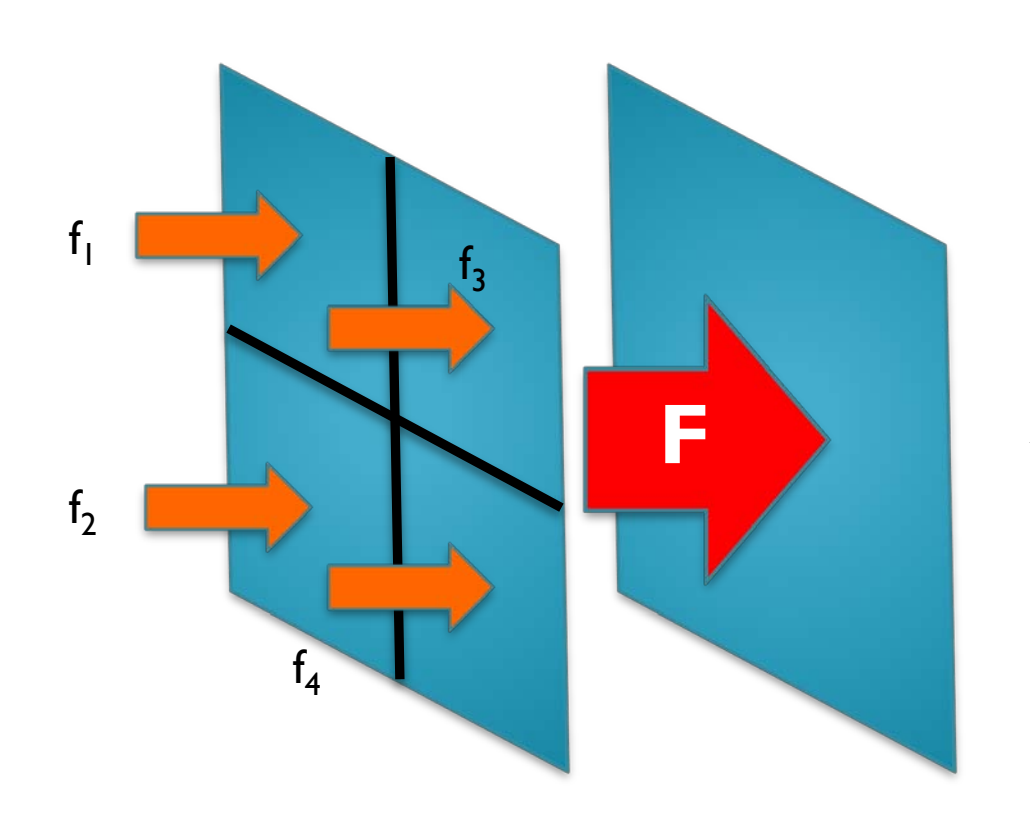
- ① Dynamical instability (|T/W|>0.27) Rampp et.al. '98
- ② Secular instability (|T/W|>0.13) Chandrasekhar '70
- 3 Low |T/W| instability (|T/W|>0.01) Watts et.al. '05

磁気回転型爆発シナリオに絡めれば・・

- ▶現実的な初期磁場(~I0°G(?))の成長。
- > その後爆発へと寄与するのか?

3次元MHDでの先行研究 Scheidegger +,'08 Mikami +,'08 極僅か。

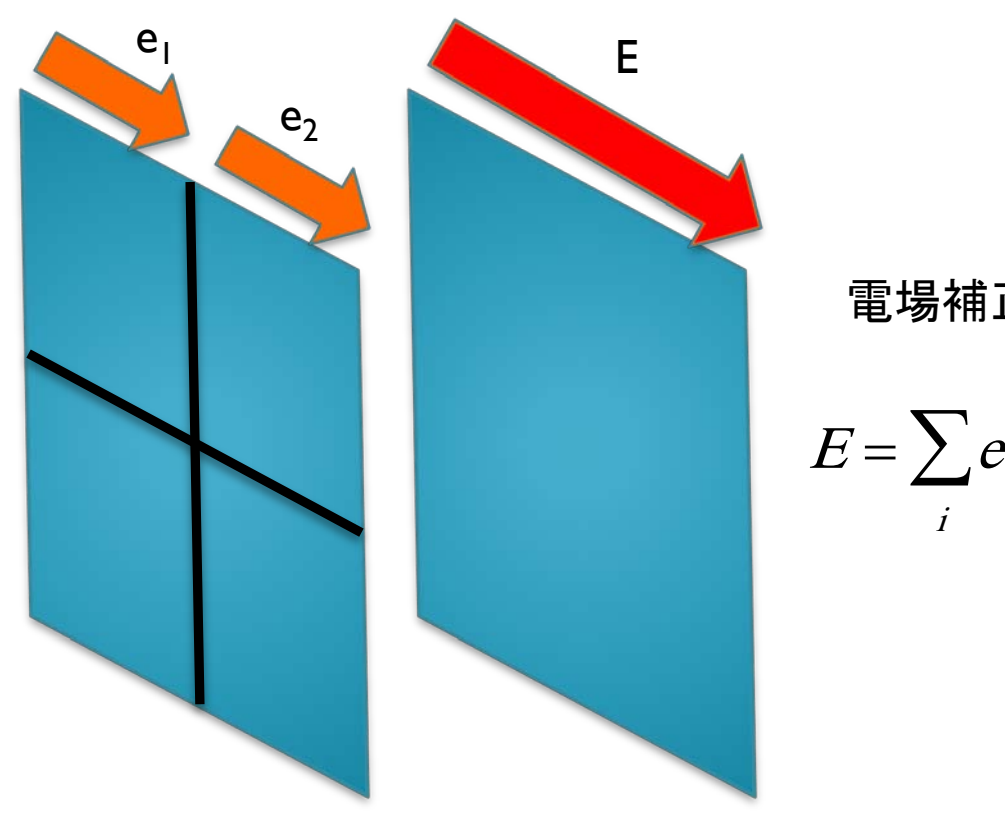
- •3次元AMR磁気流体コードで計算
- •最内層(60x60x60 km)はdX~600m



flux補正

$$F = \sum_{i} f$$

- •3次元AMR磁気流体コードで計算
- ●最内層(60x60x60 km)はdX~600m



電場補正

$$E = \sum_{i} e/2$$

◆ 1 5 太陽質量星(Umeda & Nomoto '08)を採用

◆状態方程式

$$P = K_{i}\rho^{\Gamma_{i}} + \rho RT$$

$$\varepsilon = \int_{0}^{\rho} \frac{P_{0}}{\rho^{2}} d\rho + \frac{RT}{\gamma_{t} - 1}$$

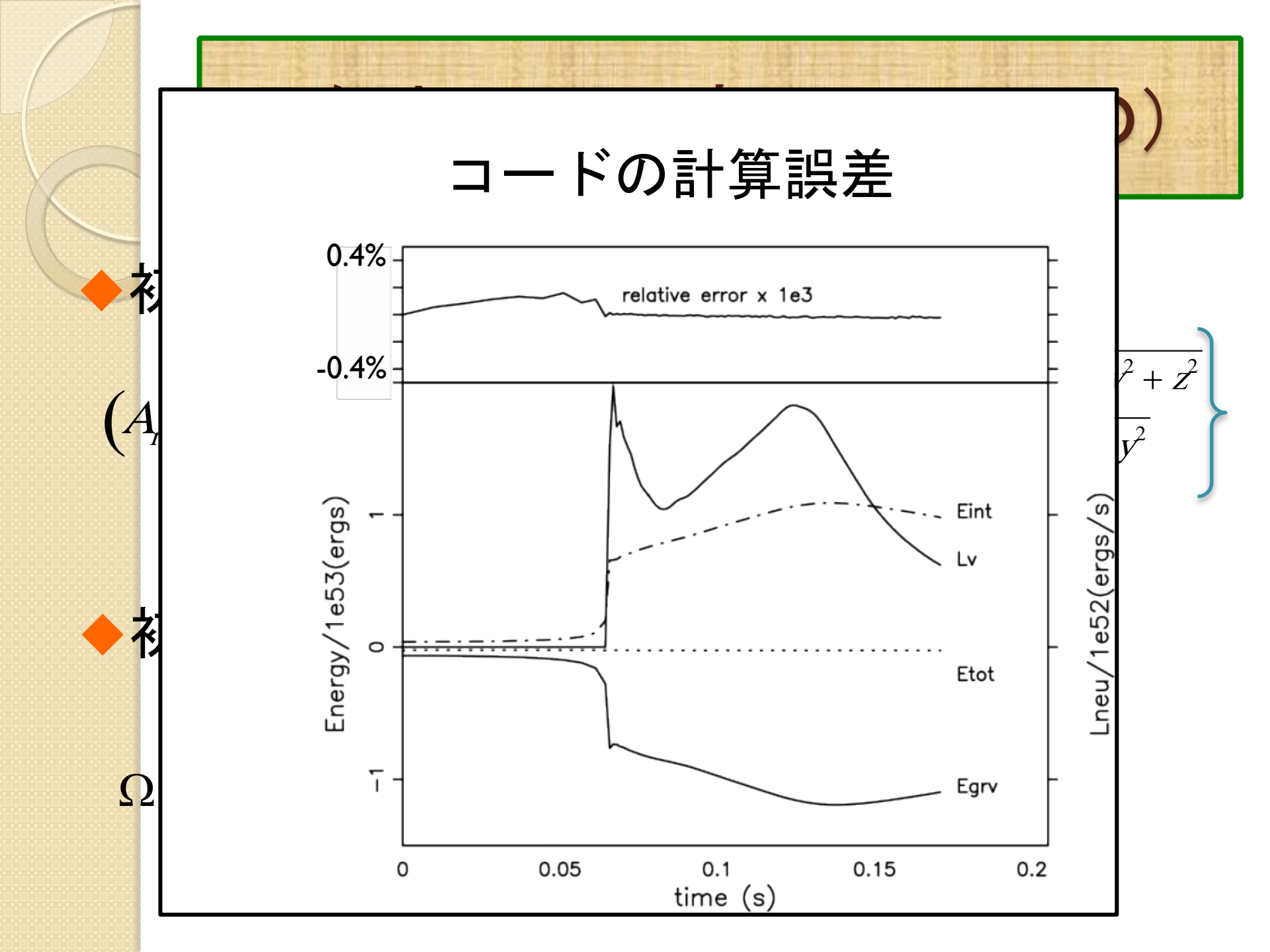
Takahara & Sato '88

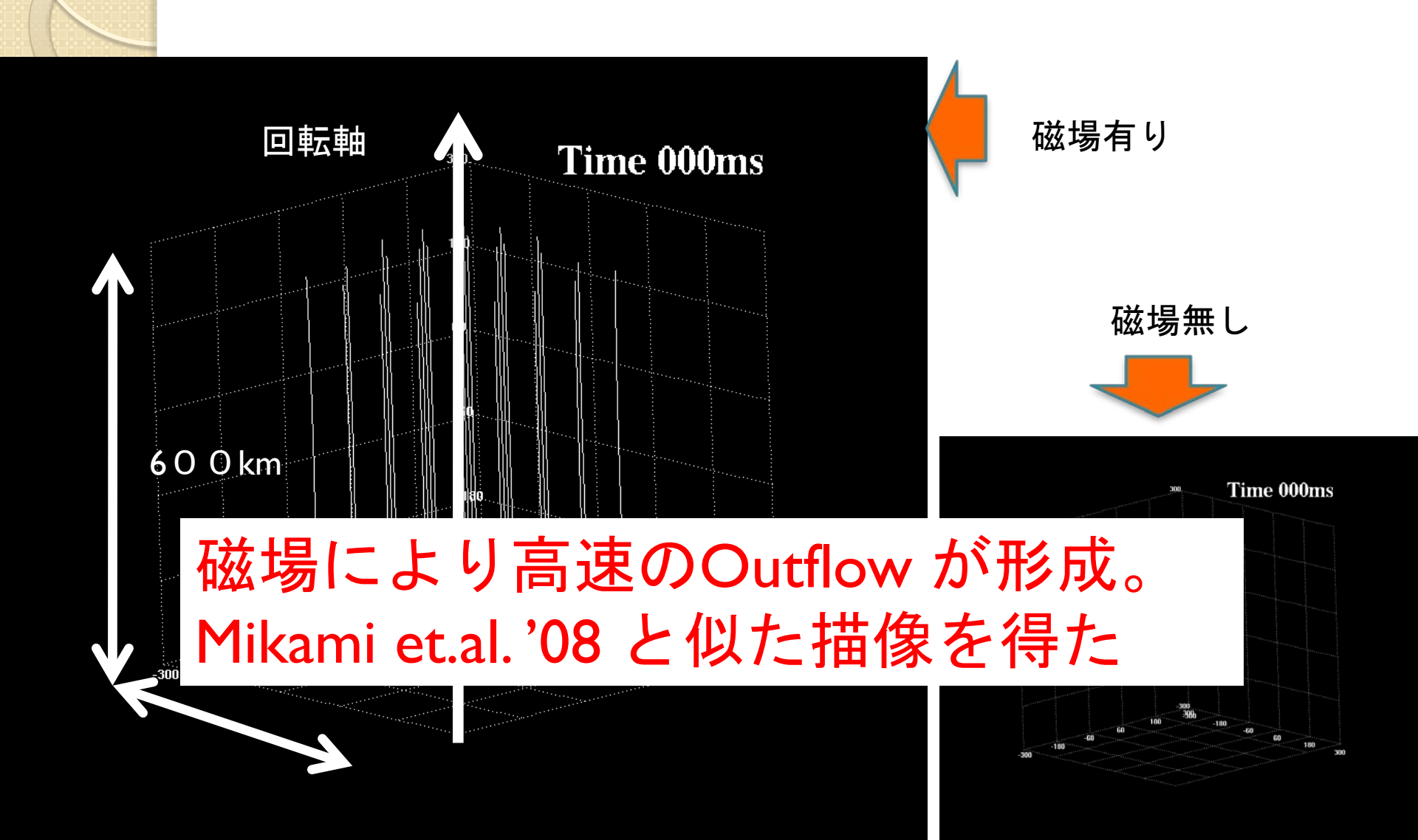
$$\Gamma = 4/3 \leftrightarrow (\rho < 4 \times 10^{9} g/cc)$$

$$\Gamma = 1.29 \leftrightarrow (4 \times 10^{9} g/cc < \rho < 1 \times 10^{12} g/cc)$$

$$\Gamma = 1.32 \leftrightarrow (1 \times 10^{12} g/cc < \rho < 2 \times 10^{14} g/cc)$$

$$\Gamma = 2.5 \leftrightarrow (\rho > 2 \times 10^{14} g/cc)$$

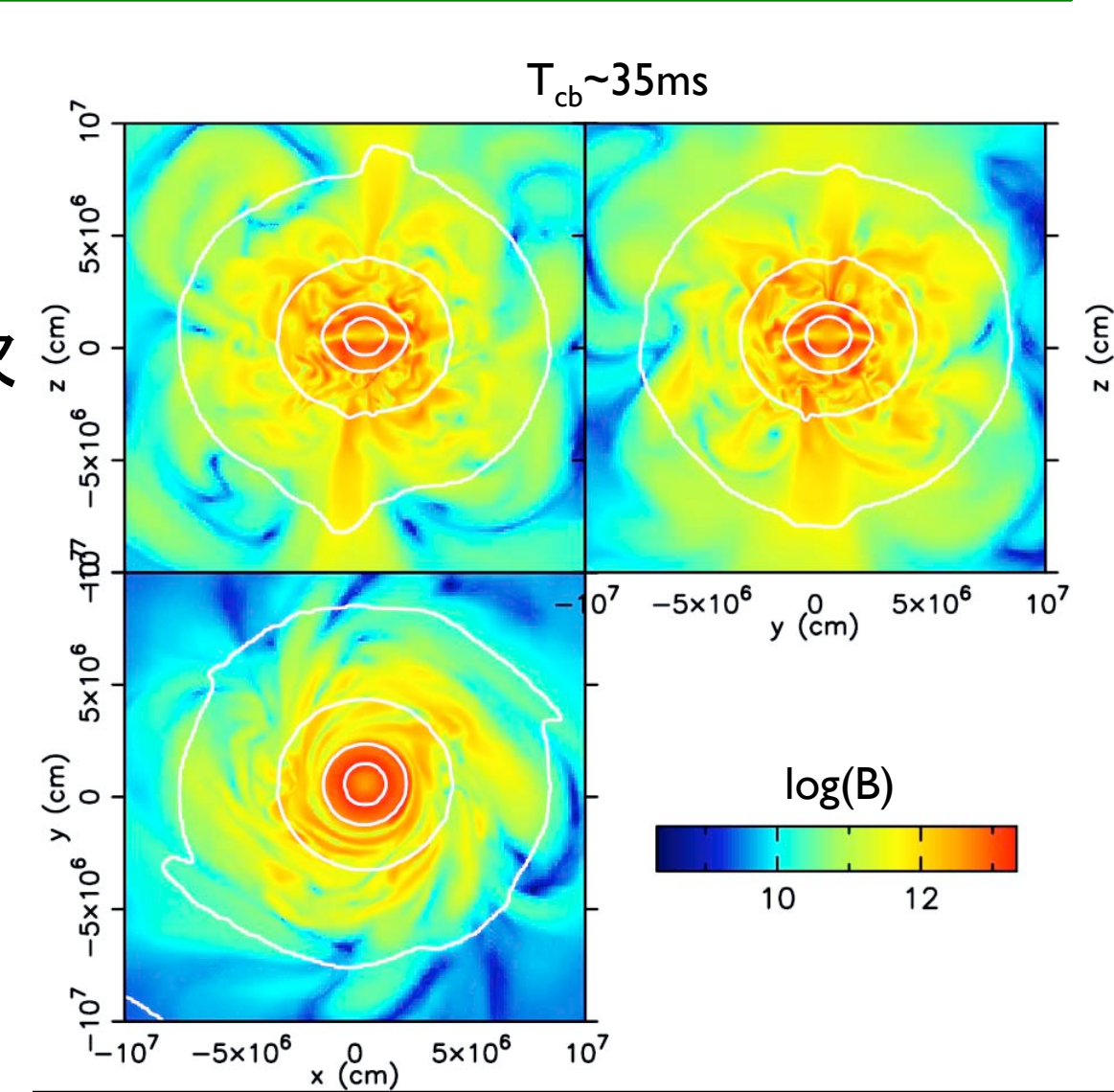




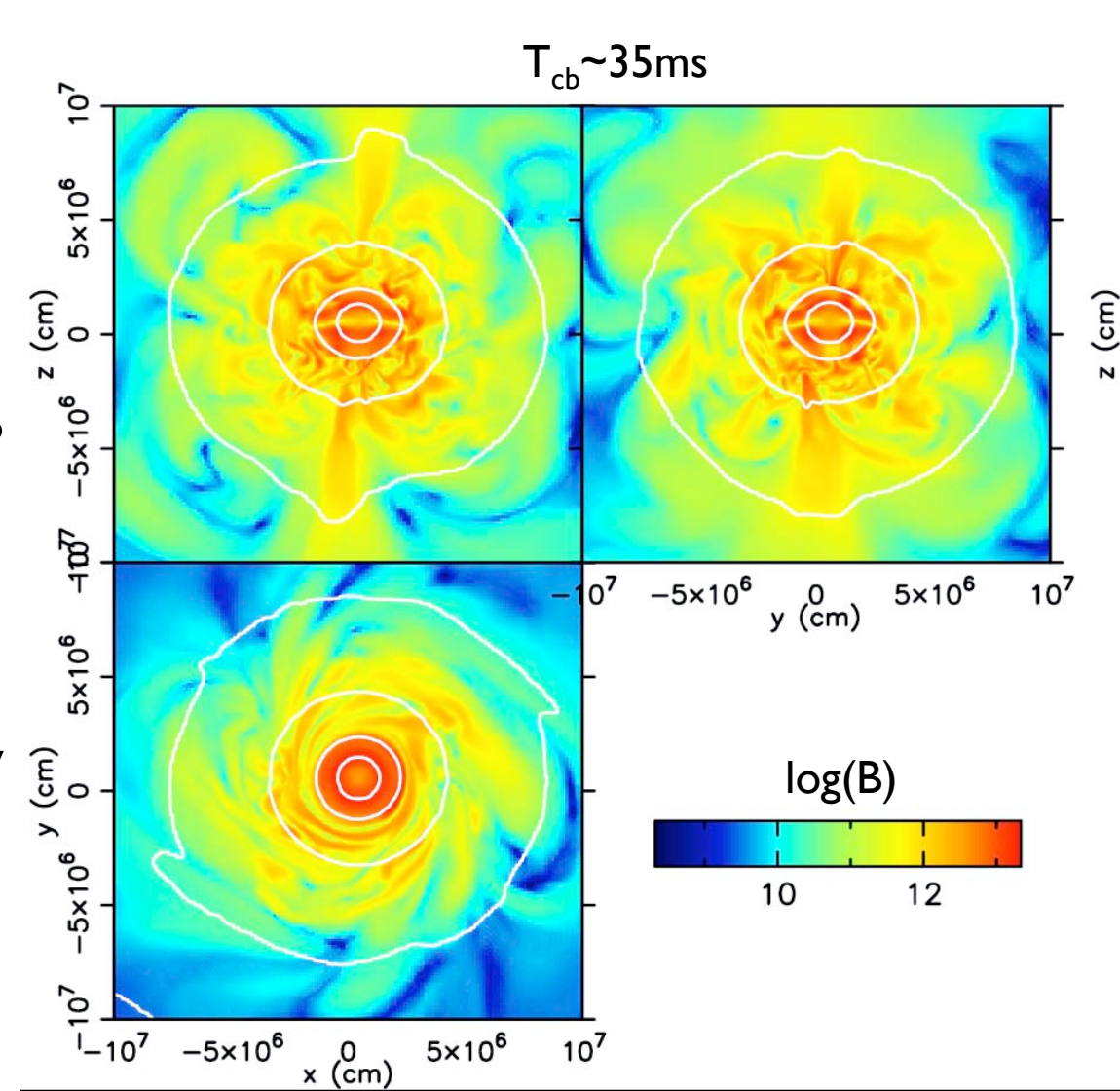
強磁場(B₀=10¹²G) (**)では定性的に2次元軸対称と同じ描像を得た。



弱磁場(B₀=10⁹G) では?



- ❖対流効果で 顕著な非球対称性。
- ◇コアバウンス後 ~40ms以内では、 強磁場及びOutflow (g) へのしょう



Summary

- ●初期に超強磁場(B₀~I0¹²G)が存在する場合、回転軸方向に高速のOutflow形成。 定性的には2次元軸対称計算と同様。
- ●高解像度計算では対流効果等で非軸対称性が生じたが、弱磁場の指数関数的増幅は T_{cb}~40ms以内では見られない。

GRMHDコードの概要

- ▶実際の重力崩壊の現場は時空が非常に歪んでいる。
- ▶我々が直接的に重力崩壊の現場を観測する手段の うちの一つとして、重力波が挙げられる。



from Newtonian MHD to Full General Relativistic MHD!!

GRMHDコードの概要

$$(\partial_t - \beta^k \partial_k) \tilde{\gamma}_{ij} = -2\alpha \tilde{A}_{ij} + \tilde{\gamma}_{ik} \beta^k_{,j} + \tilde{\gamma}_{jk} \beta^k_{,i} - \frac{2}{3} \tilde{\gamma}_{ij} \beta^k_{,k}, \qquad (2.16)$$

$$(\partial_t - \beta^k \partial_k) \tilde{A}_{ij} = e^{-4\phi} \left[\alpha \left(R_{ij} - \frac{1}{3} \gamma_{ij} R \right) - \left(D_i D_j \alpha - \frac{1}{3} \gamma_{ij} D_k D^k \alpha \right) \right]$$

+
$$\alpha (K\tilde{A}_{ij} - 2\tilde{A}_{ik}\tilde{A}_{j}^{k}) + \beta^{k}_{,i}\tilde{A}_{kj} + \beta^{k}_{,j}\tilde{A}_{ki} - \frac{2}{3}\beta^{k}_{,k}\tilde{A}_{ij}$$

$$-8\pi\alpha e^{-4\phi} \left(S_{ij} - \frac{1}{3}\gamma_{ij}S_k^{\ k} \right), \tag{2.17}$$

$$(\partial_t - \beta^k \partial_k) \phi = \frac{1}{6} \left(-\alpha K + \beta^k_{,k} \right), \tag{2.18}$$

$$(\partial_t - \beta^k \partial_k) K = \alpha \left(\tilde{A}_{ij} \tilde{A}^{ij} + \frac{1}{3} K^2 \right) - D_k D^k \alpha + 4\pi \alpha (E + S_k^{\ k}), \qquad (2.19)$$

$$(\partial_{t} - \beta^{k} \partial_{k}) F_{i} = 2\alpha \left(f^{kj} \tilde{A}_{ik,j} + f^{kj}_{,j} \tilde{A}_{ik} - \frac{1}{2} \tilde{A}^{jl} h_{lj,i} + 6\phi_{,k} \tilde{A}^{k}_{i} - \frac{2}{3} K_{,i} \right)$$

$$- 2\delta^{jk} \alpha_{,k} \tilde{A}_{ij} + \delta^{jl} \beta^{k}_{,l} h_{ij,k} + \left(\tilde{\gamma}_{il} \beta^{l}_{,j} + \tilde{\gamma}_{jl} \beta^{l}_{,i} - \frac{2}{3} \tilde{\gamma}_{ij} \beta^{l}_{,l} \right)_{,k} \delta^{jk}$$

$$- 16\pi \alpha J_{i}, \qquad (2.24)$$

Fa

nt

ht

GRMHDコードの概要

gauge conditions

$$\partial_t \alpha = \beta^i \partial_i \alpha - 2\alpha K$$

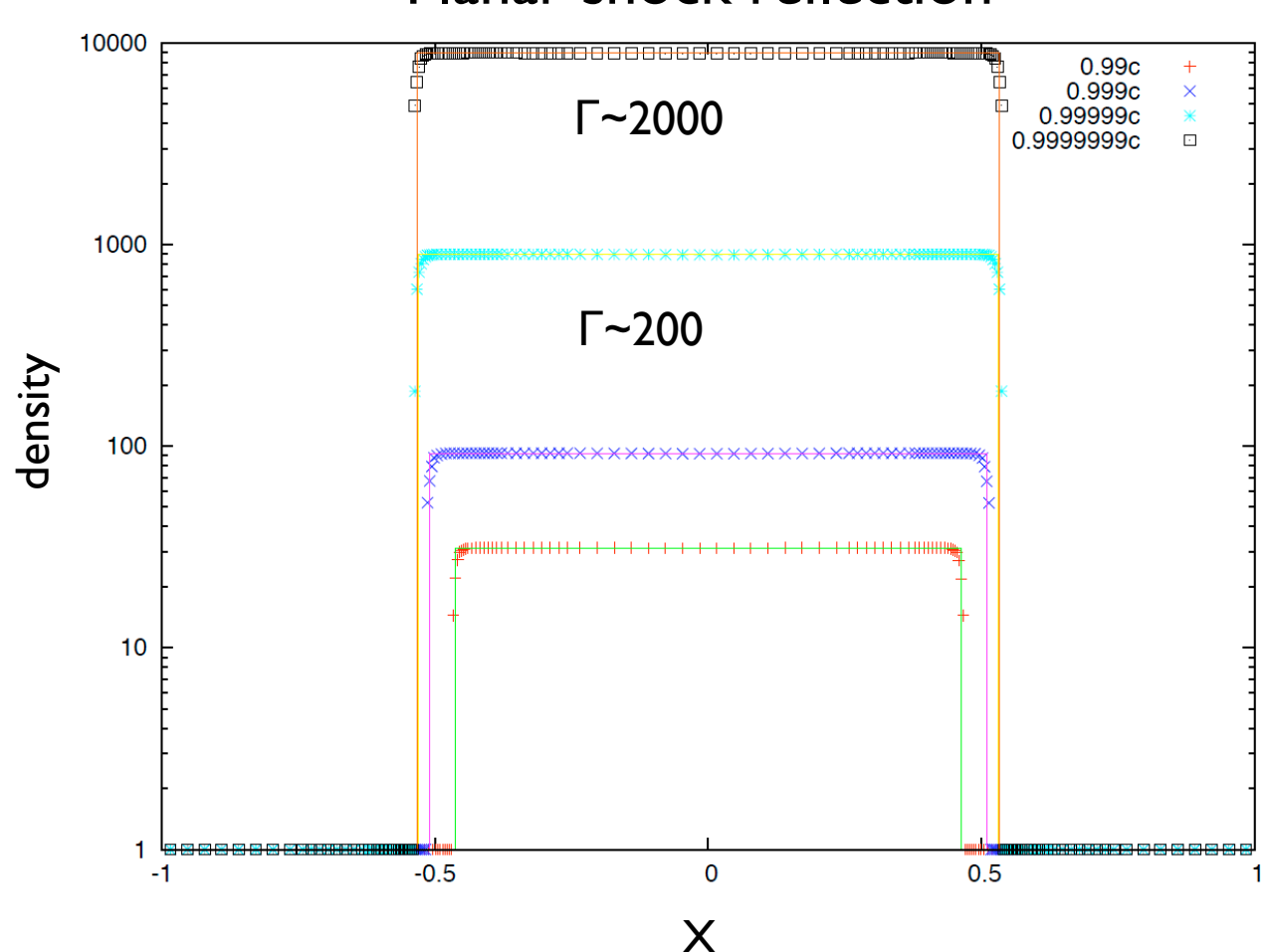
$$\partial_t \beta^i = \tilde{\gamma}^{ik} (F_k + \Delta t \partial_t F_k) \quad \text{(Shibata '03)}$$

このgauge condition のおかげで、 初期条件(Hamiltonian & Momentum constraint)で 解く以外は、Poisson eq. を扱う必要がなくなる。

GRMHDコードの概要(test I)

Test suite in Minkowsky space time.

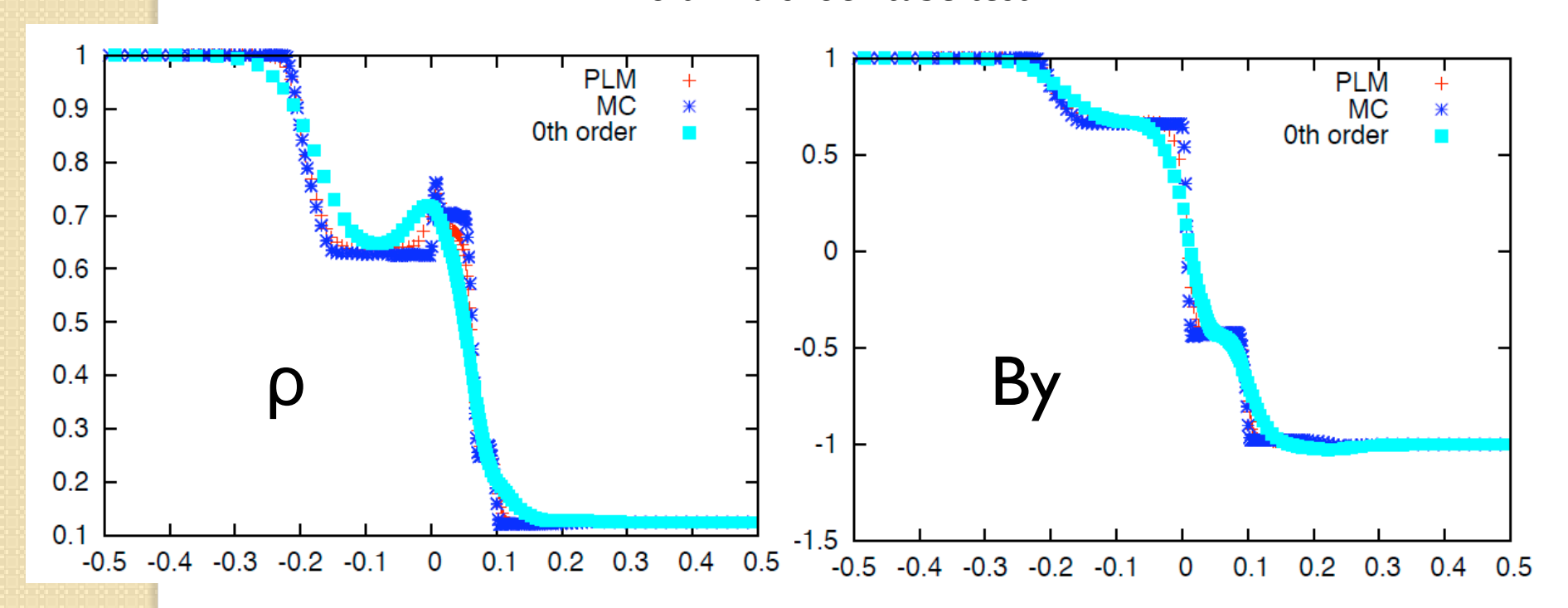
Planar shock reflection



GRMHDコードの概要(test 2)

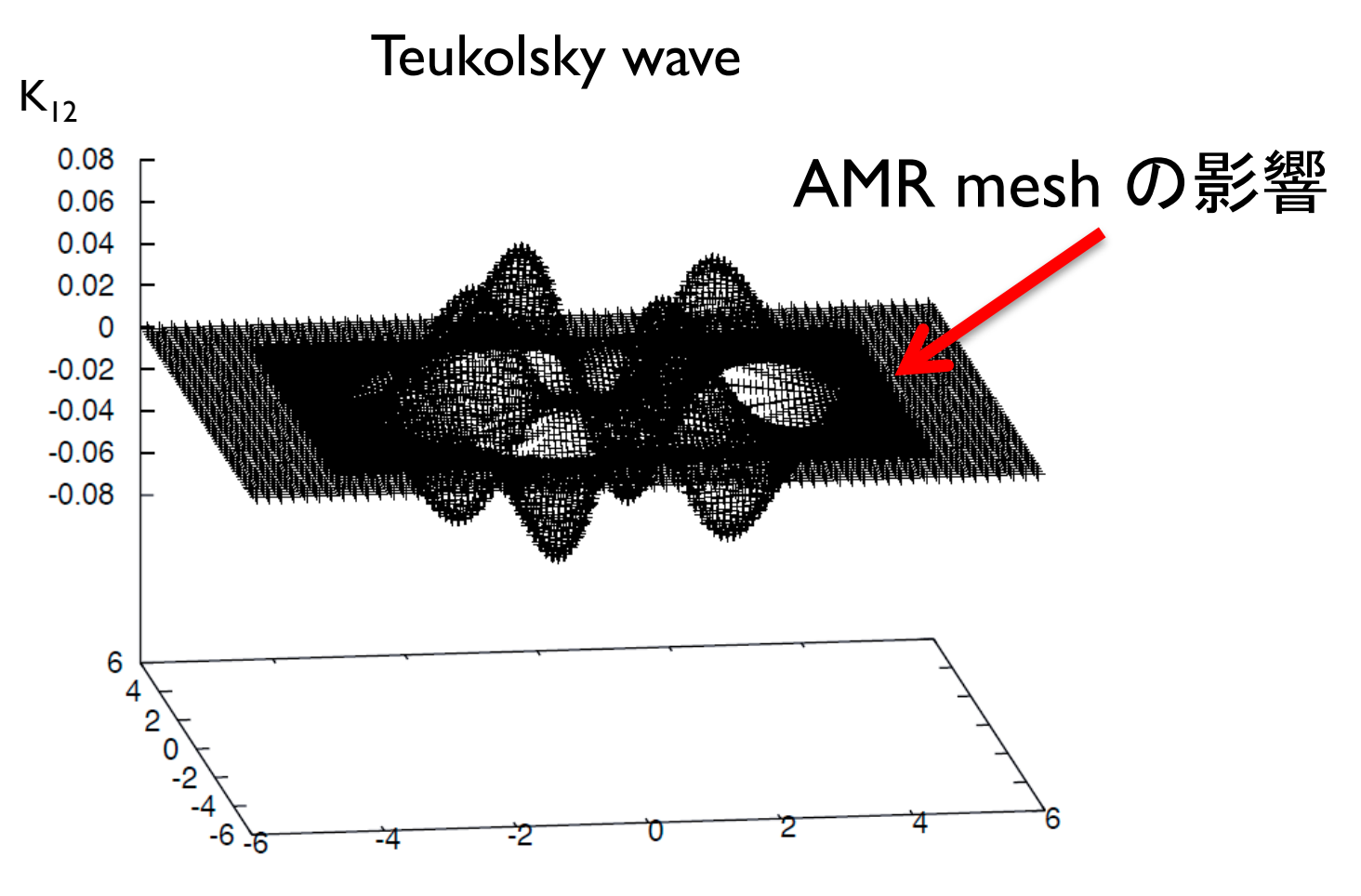
Test suite in Minkowsky space time.

Brio & Wu shock tube test



GRMHDコードの概要(test 3)

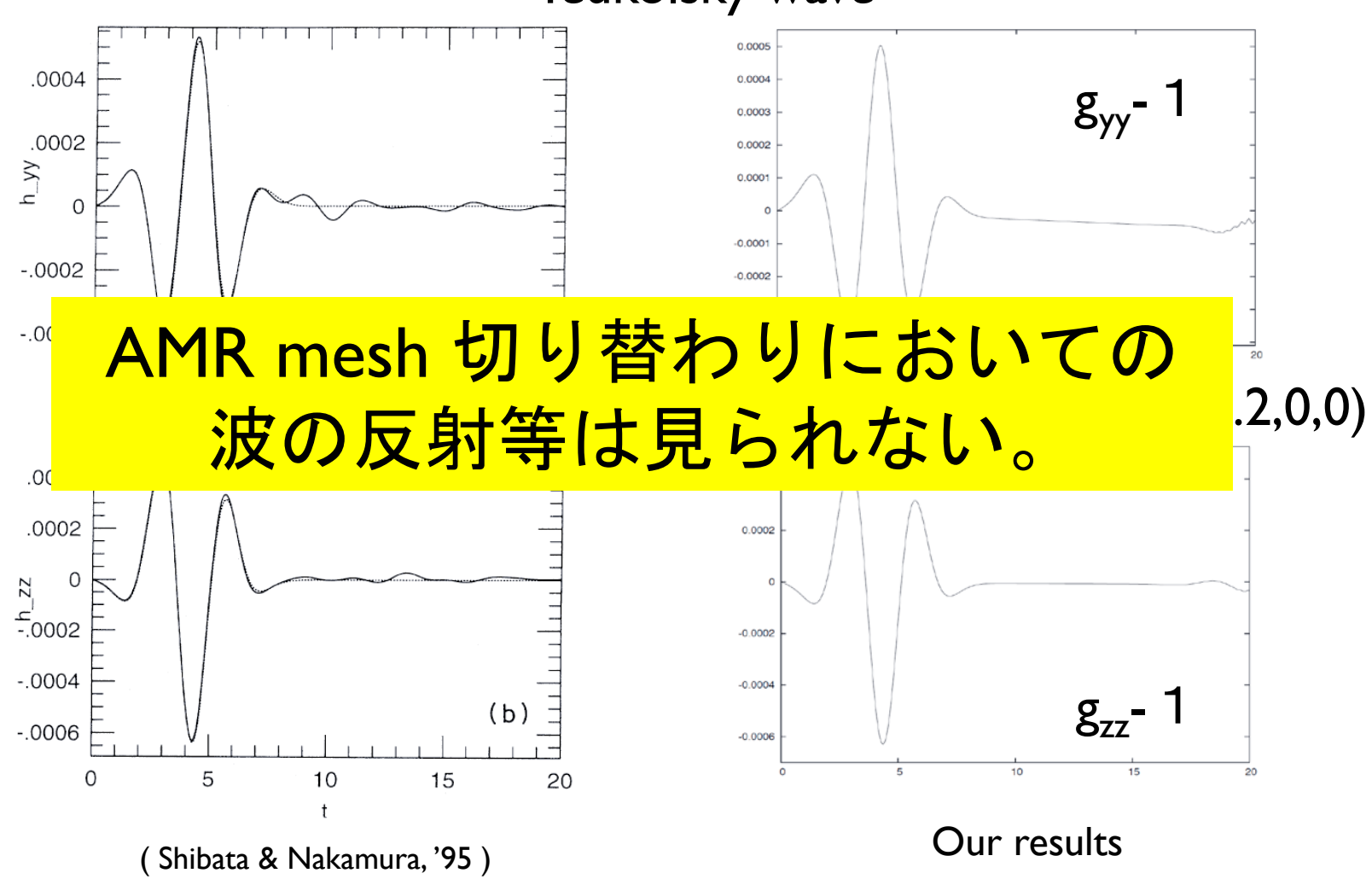
Test suite in dynamical space time.



Vacuum space + liner gravitational wave

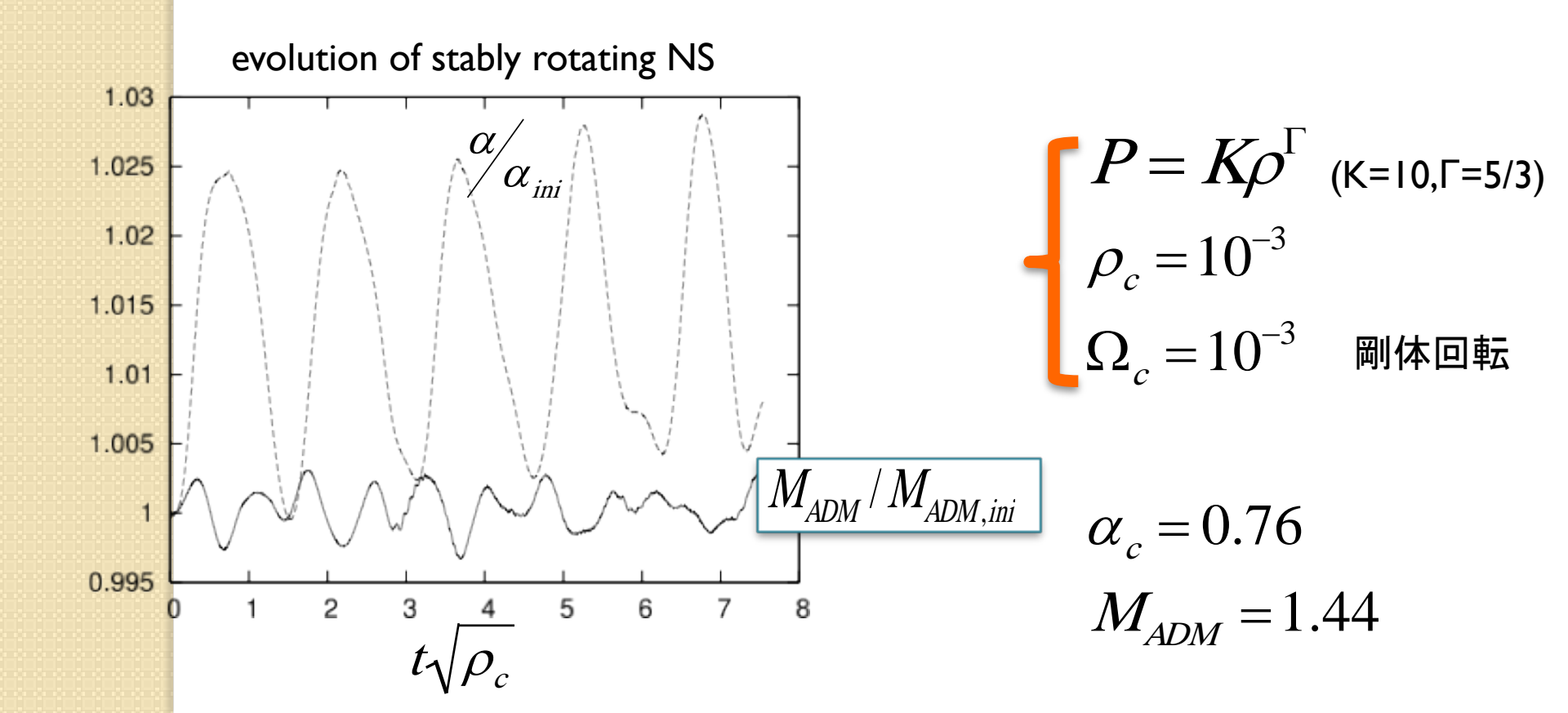
GRMHDコードの概要(test 3)

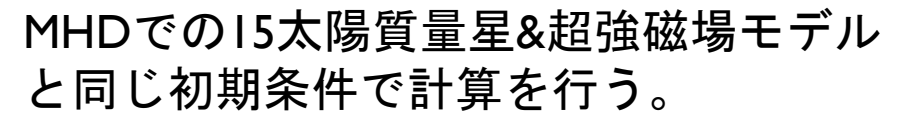
Test suite in dynamical space time. Teukolsky wave



GRMHDコードの概要(test 4)

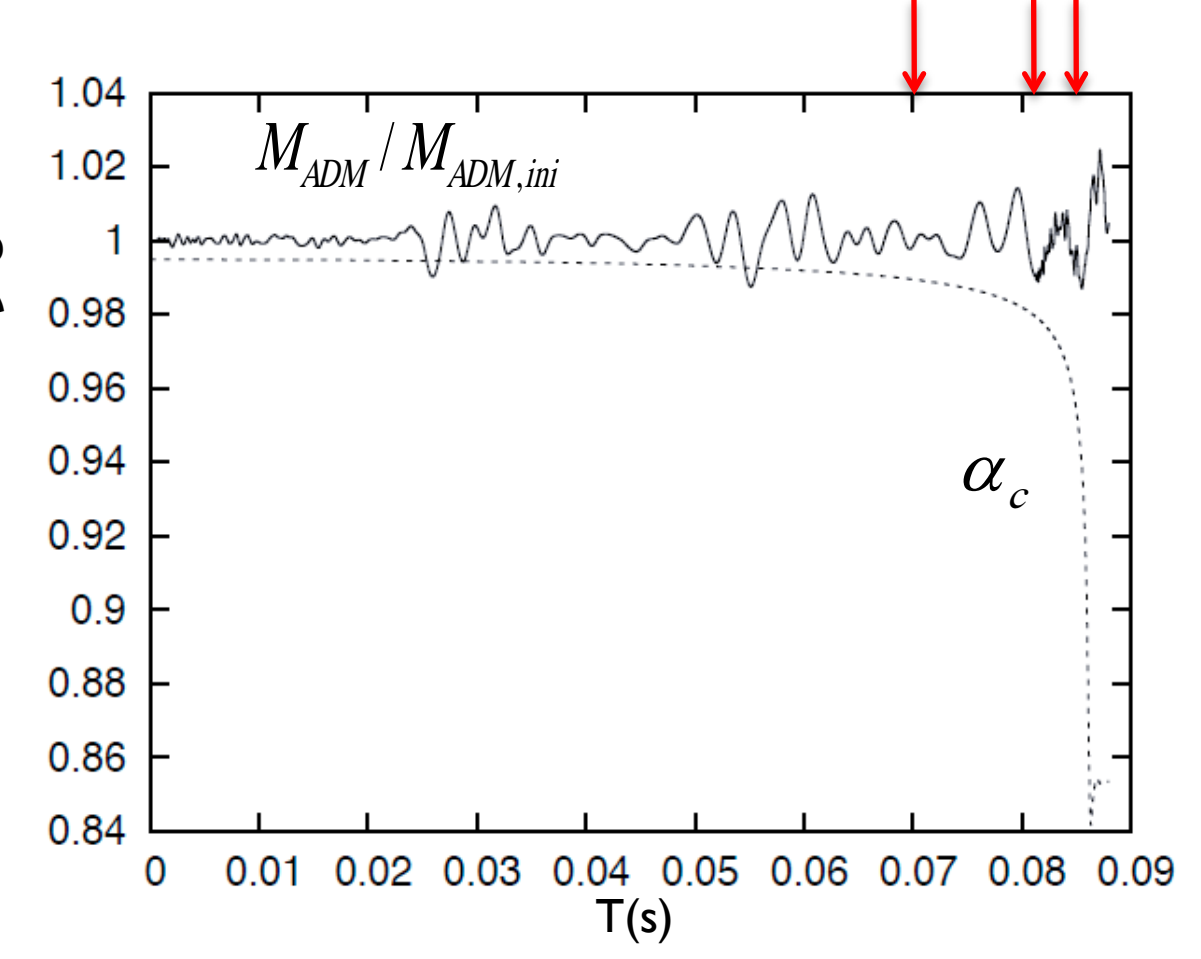
平衡状態の回転中性子星



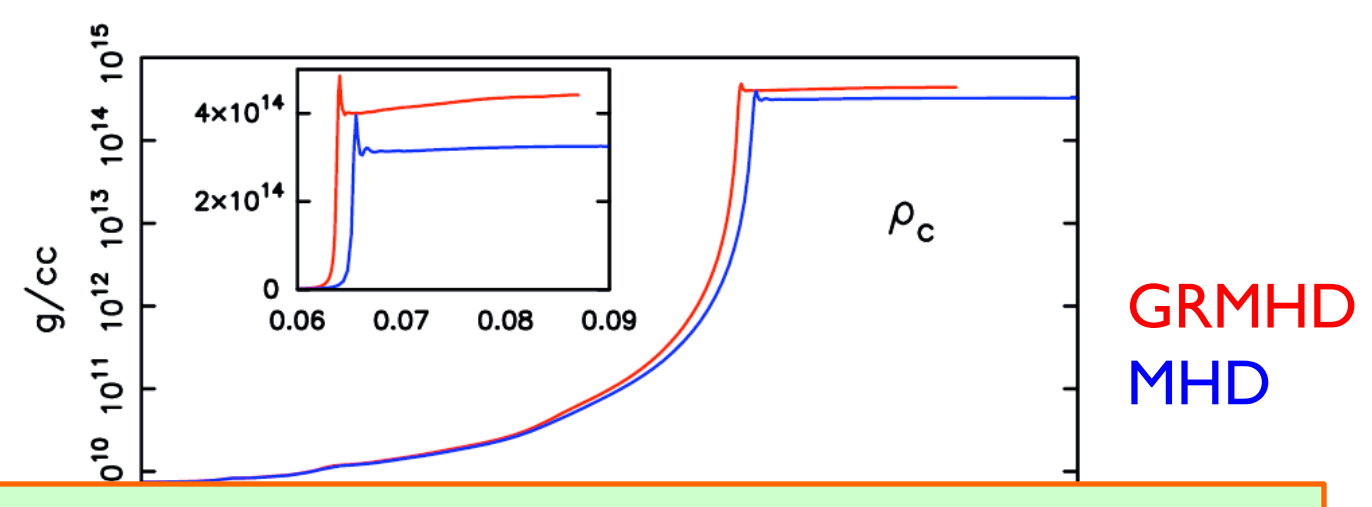


計算時間短縮のため 中心密度上昇に伴い AMR level を上げる。

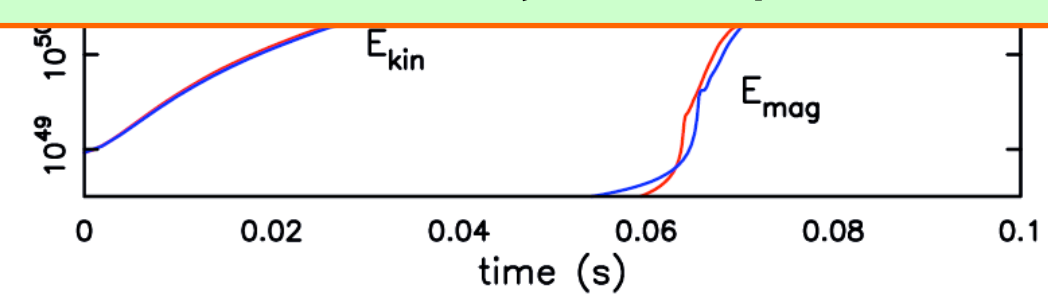
Mesh Refinement に 伴うADM mass 等の 不審な挙動は見ら れない。

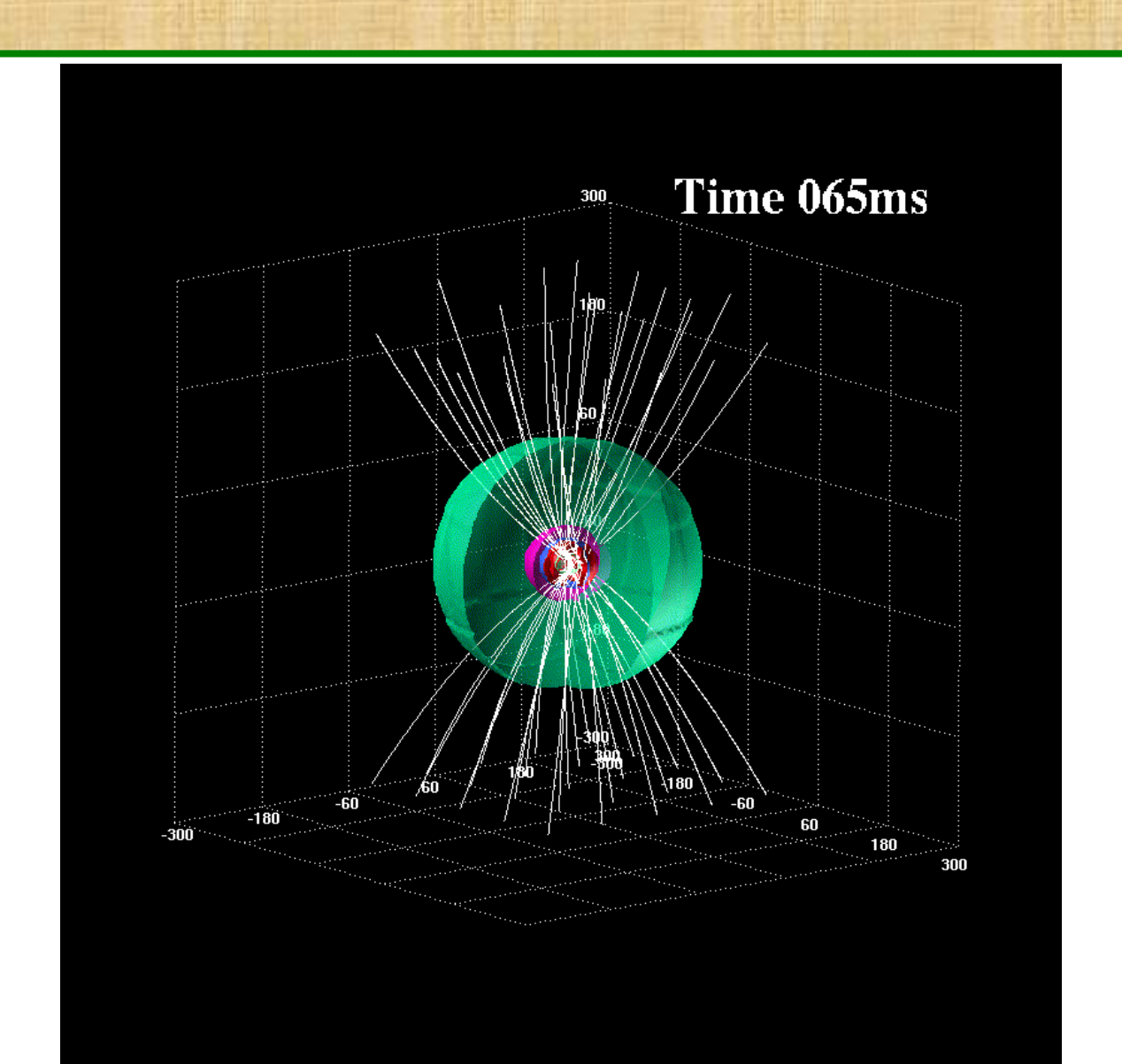


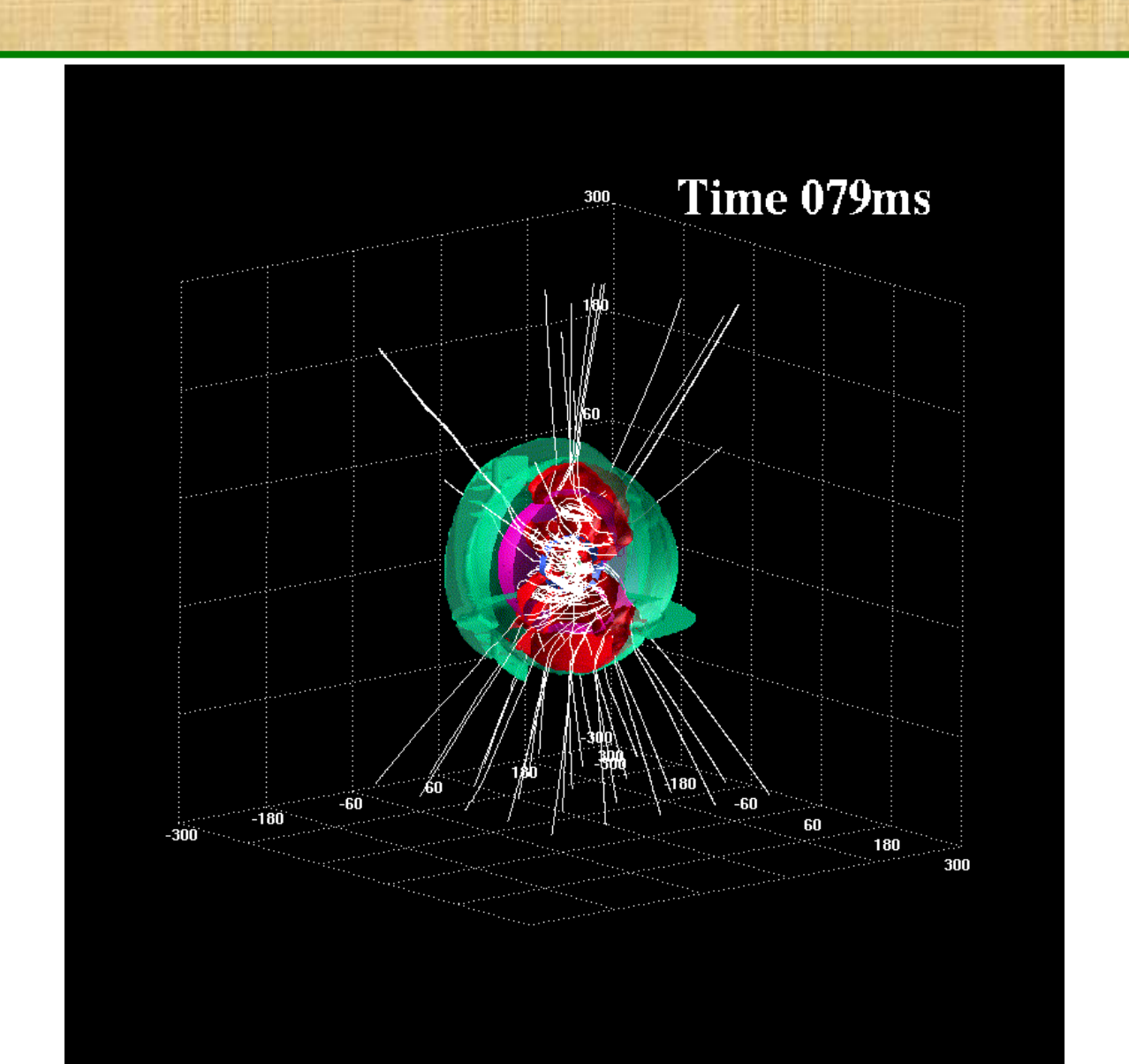
格子幅半減

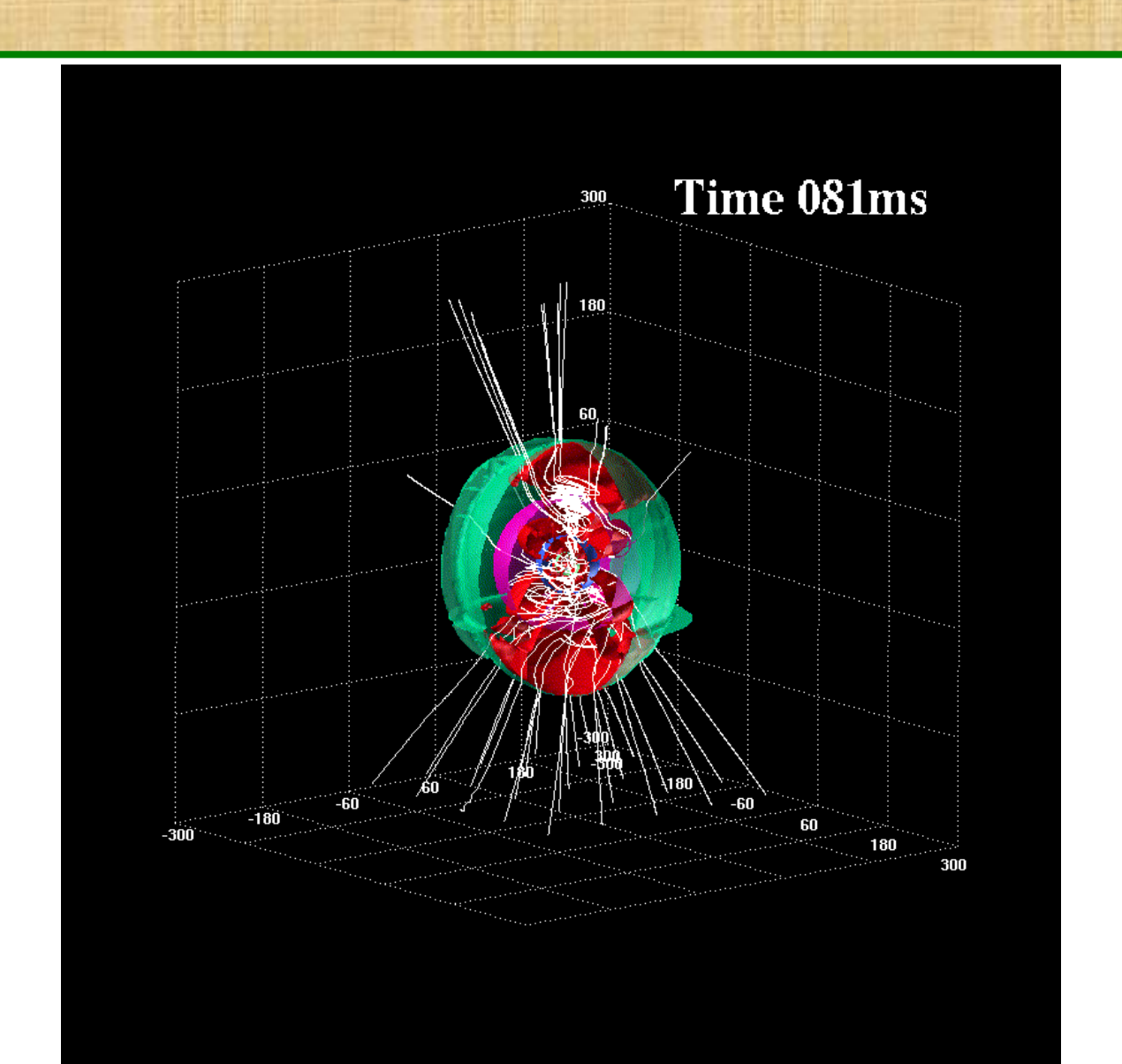


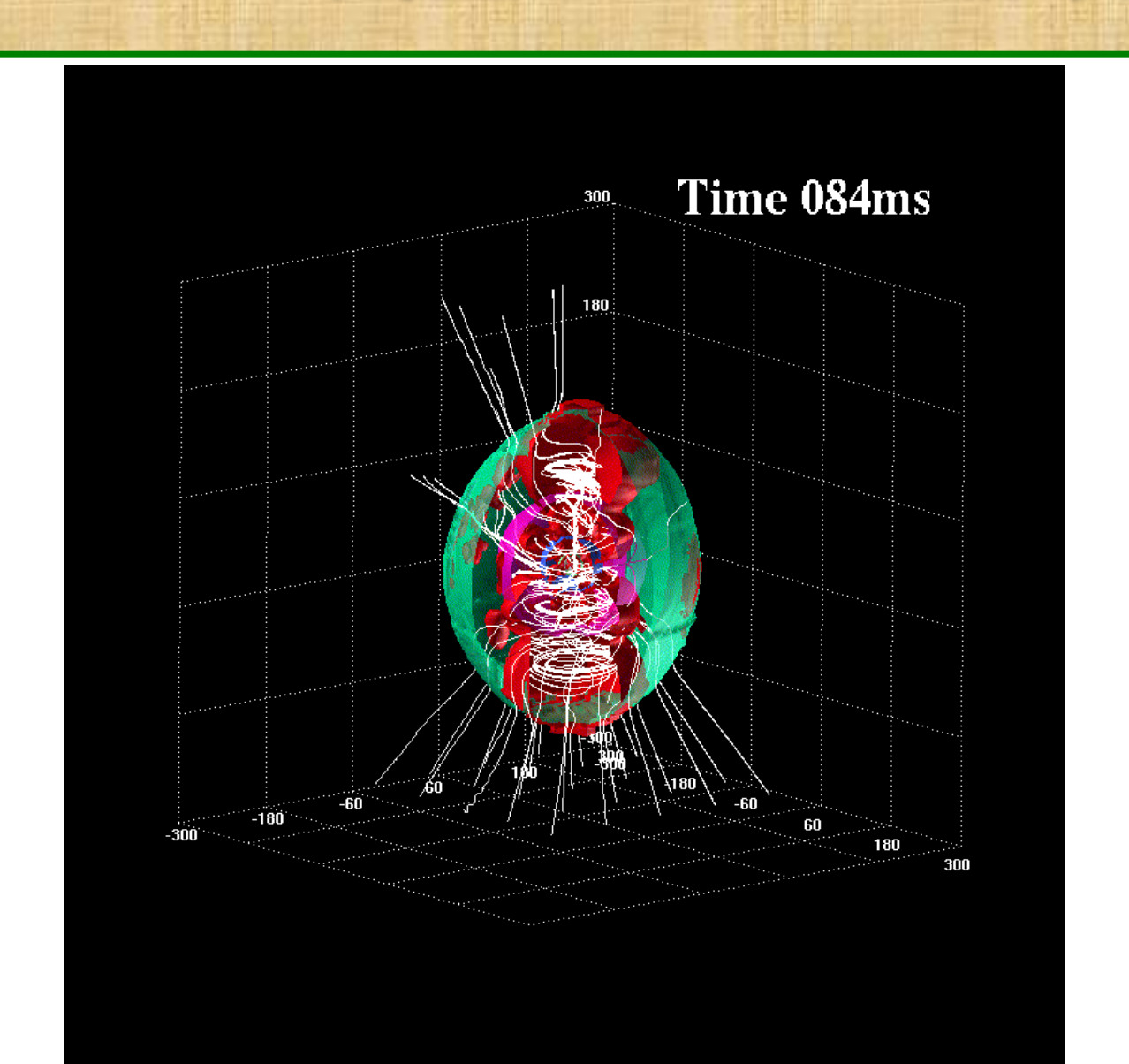
GRMHDとMHD供に同じような進化 をたどっており、今回作成した GRMHDコードはうまく働いている。

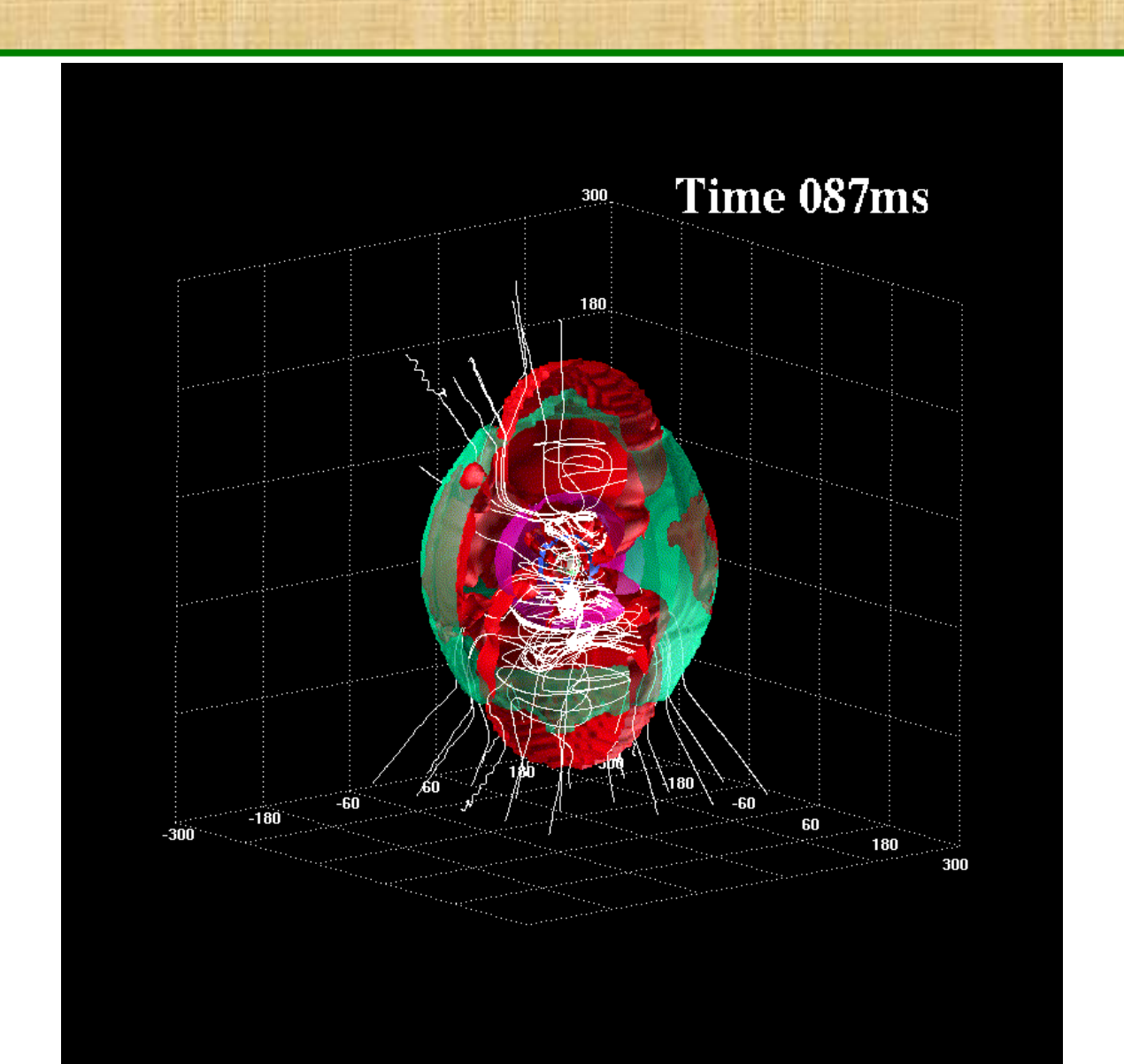












まとめ

- ▶今回新たに3DAMR-GRMHDコードを作成し、各種テストを行った。
- ➤低質量の大質量星重力崩壊計算ではMHD 計算とGRMHDがほぼ同じ進化をたどってい る。
- ➤今後はBHを取り扱える様に改良を行い、 ~40Msun以上の星での重力崩壊、BH形成を 一連の流れで取り扱う予定。

